

пленки (данного типа) необходимо иметь калибровочную кривую. Для получения такой зависимости конверт спленкой, установленной в фантоме как было изложено выше, облучается одним IMRT-полем, создающим восемь областей с разными заданными уровнями величины дозы. После проявки и сканирования калибровочной пленки полученное изображение передается в программу Verisoft. В данной программе для каждой из восьми областей определяются численные значения уровней почернения пленки. Каждому из этих значений соответствует известное (заданное) значение поглощенной дозы. Полученная зависимость (калибровочная кривая) используется для получения абсолютного распределения дозы спленок, облученных лечебными полями.

<sup>1</sup>Н.В. Тюєва, <sup>2</sup>Л.П. Антонова, <sup>2</sup>В.Т. Стоян,  
<sup>2</sup>С.П. Дідорчук

<sup>1</sup>Одесський національний медичний університет,  
<sup>2</sup>Одесський обласний онкологічний диспансер

## Комплексний моніторинг резорбції пухлин шийки матки протягом поєднаної променевої терапії

### Complex monitoring of cervical tumor resorption during combination radiation therapy

**Summary.** Complex ultrasound examination with Doppler investigation was performed in 48 patients with stage II–III cervical cancer during radiation therapy including brachytherapy with Co-60 source and high dose rate with MultiSource unit. Complex monitoring allows to assess objectively the tumor response and predetermines optimizing dose-time ratio of the components of combination radiation therapy.

**Key words:** local cervical cancer, brachytherapy with high dose rate, tumor response monitoring, ultrasound examination, treatment optimizing.

**Резюме.** Виконано комплексне УЗІ з допплерометриєю 48 больним раком шийки матки II–III стадії в динаміці в ході лучової терапії, включавшій брахітерапію источником Co-60 з високою потужністю дози на апараті MultiSource. Комплексний моніторинг дозволяє об'єктивно оцінити опухолевий відповідь та створює предпосилки для оптимізації дозно-часового співвідношення компонентів комбінованої лучової терапії.

**Ключові слова:** місцевопоширеній рак шийки матки, брахітерапія з високою потужністю дози, моніторинг пухлини відповіді, ультразвукове дослідження, оптимізація лікування.

**Ключові слова:** місцевопоширеній рак шийки матки, брахітерапія з високою потужністю дози, моніторинг пухлини відповіді, ультразвукове дослідження, оптимізація лікування.

Упровадження сучасних методик дистанційної та контактної (зокрема, з високою активністю джерела) променевої терапії раку шийки матки (РШМ) потребує ретельного вимірювання об'єму та меж пухлини до початку і в процесі лікування з метою складання та корекції лікувального плану. Останніми роками з цією метою успішно використовуються КТ, МРТ, за наявності — ПЕТ-КТ [1, 2]. Поряд з цим, доступним та безпечним методом оцінки особливостей зростання пухлини та її регресу протягом лікування залишається ультразвукове дослідження (УЗД) [3, 4]. Розвиток пухлини в організмі супроводжується організацією мікро-

циркуляторного русла, вираженість якого корелює зі швидкістю її зростання та ступенем злокісності [5].

Метою нашої роботи була оцінка інформативності УЗД з кольоровим (КДК) та енергетичним допплерівським картуванням (ЕДК) в оцінці об'єму, особливостей поширення, неоангіоархітектоніки та регресії пухлини протягом поєднаної променевої терапії (ППТ) у хворих на РШМ II–III стадії.

Рутинне бімануальне обстеження та комплексне УЗД проведено 48 жінкам, хворим на плоскоклітинний РШМ II–III стадії, до початку ППТ, після досягнення СОД від телегамма-терапії (ТГТ) 30 Гр, наприкінці лікування та через 1 місяць. У режимі сірої шкали вивчали розміри пухлини, інфільтрацію парастатальної клітковини, стан регіонарних лімфатичних вузлів. За допомогою ультразвукової ангіографії оцінювали неоангіоархітектоніку, тип та гемодинамічні параметри кровотоку: максимальну систолічну швидкість (МСШ), діастолічну швидкість, індекс резистентності (IR) та пульсаційний індекс (PI) у судинах шийки матки. Ультразвукове дослідження проводили на цифровому ультразвуковому сканері Siemens Sonoline G50 з конвексним багаточастотним датчиком 2,5–5,0 МГц.

Всі хворі отримували дистанційну променеву терапію на апараті Teragam: спочатку рівномірне опромінення таза РОД 2 Гр, СОД 20–40 Гр, після досягнення оптимальних умов для брахітерапії (достатньої резорбції пухлини згідно з даними комплексного обстеження) починали контактне опромінення на апараті MultiSource з джерелом високої потужності дози Со-60, РОД 5,5–7,0 Гр, яке проводили 1 раз на тиждень, продовжуючи дистанційне опромінення парастатальної клітковини і заочеревинних лімfovузлів з 4 полів або в режимі ротації до СОД 44–50 Гр на т. В залежно від стадії. Сумарні ізоекспективні дози обчислювались за лінійно-квадратичною моделлю і складали 80–85 Гр на т. А, 50–56 Гр — на т. В [2].

Оцінка ефективності проведеного лікування (резорбції пухлини) (таблиця 1) полягала в оцінці змін величин топометричних показників розмірів та об'єму шийки матки, показників артеріальної гемодинаміки в маткових артеріях, якісних параметрів кровотоку в пухлині за такою градацією:

повна регресія — зникнення всіх ознак пухлинного процесу;

часткова регресія — 50% чи більше зменшення об'єму шийки матки за відсутності прогресування інших осередків, зниження МСШ на 35% та більше, збільшення IR при зменшенні PI;

стабілізація — зменшення об'єму шийки матки менш ніж на 50% за відсутності нових уражень чи збільшення не більше як на 25%, зниження МСШ до менше 35% від первинної, незмінність IR при незмінності чи зменшенні PI.

прогресування — більше чи рівне 25% збільшення розмірів шийки матки чи поява нових уражень, збільшення МСШ більш як на 35%, зменшення IR при збільшенному чи незмінному PI.

За результатами проведеного дослідження в усіх пацієнток у В-режимі було виявлено утворів зі зниженою ехогеністю, що виходив із строми шийки матки з поширенням на її тіло в 11 пацієнток (22,6%) чи піхву — у 24 жінок (50%). У 40 хворих (83,6%) відмічено інфільтрацію параметрів. Дані УЗД в цілому збігалися з результатами дворучного обстеження, але у 20 хворих (42%) при УЗД в режимі сірої шкали параметральна інфільтрація видавалася меншою, ніж при огляді, або не виявлялася взагалі. При ЕДК у всіх хворих визначався осередок локальної неоваскуляризації дезорганізованого типу — у 12 (25%) пацієнток встановлено ясний тип, у 30 (62,5%) — середній, у 6 (12,5%) — бідний. Об'єм пухлини до початку лікування варіював від 76,2

Таблиця 1

## Гемодинаміка пухлин шийки матки на різних етапах ППТ

Період контролю	МСШ пухлин — Vmax, см/с	Діастолічна швидкість — Vmin, см/с	Індекс резистентності, IR	Пульсаційний індекс, PI
До лікування	32,1 ± 2,1	12,0 ± 2,2	0,72 ± 0,2	1,1 ± 0,22
Після I етапу ППТ	22,0 ± 1,7	8,0 ± 1,8	0,85 ± 0,189	1,0 ± 0,2
По закінченні лікування	16,0 ± 1,5	7,0 ± 1,7	0,92 ± 0,16	1,03 ± 0,187
Через 1 місяць після лікування	12,0 ± 1,4	4,0 ± 1,5	1,08 ± 0,12	0,99 ± 0,146

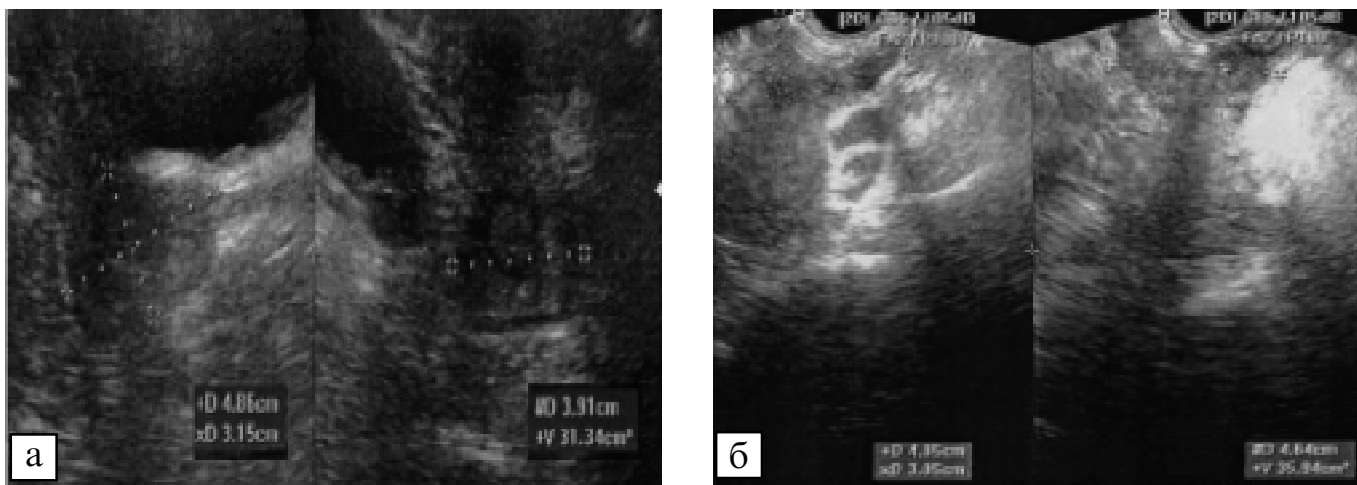


Рисунок 1. Зміни структури та об'єму пухлини під впливом променевої терапії (ультразвукове дослідження у В-режимі): а — до лікування; б — наприкінці курсу ППТ



Рисунок 2. Зміни гемодинаміки пухлини під впливом променевої терапії (ультразвукове дослідження в режимі допплерографії): а — до початку лікування; б — після СОД 30 Гр від ТГТ; в — наприкінці курсу ППТ

до 178,8 см<sup>3</sup>, в середньому 121,3 ± 6,2 см<sup>3</sup>. МСШ кровотоку в середньому була 32,1 ± 2,1 см/с, IR — 0,72 ± 0,2 та PI — 1,10 ± 0,22.

Після досягнення дози 30 Гр на малий таз у всіх хворих відмічено відносне зменшення об'єму пухлини та кількості кольорових осередків, уповільнення кровотоку. Об'єм пухлини шийки матки після I етапу лікування варіював від 53,44 до 107,53 см<sup>3</sup>, в середньому 79 ± 2,1 см<sup>3</sup>; МСШ кровотоку в середньому була 22 ± 1,7 см/с, IR складав 0,85 ± 0,189 та PI — 1,0 ± 0,2. Ці результати в цілому відповідають даним деяких авторів [6], які про досить швидку резорбцію пухлини протягом лікування, так і про збереження у ряду хворих достатньо великого розміру пухлинного осередку, особливо в параметральній клітковині, навіть після 3 тижнів лікування, що є перешкодою для початку брахітерапії з огляду на відсутність умов для оптимального розподілу дози.

Наприкінці курсу ППТ спостерігалося зменшення об'єму та часткове фіброзування пухлини, склерозування пухлинних судин. У більшості хворих зменшення об'єму пухлини в процесі ППТ відбувалося паралельно та пропорційно зниженню ступеня її васкуляризації. Так, середній об'єм пухлини шийки матки після лікування складав в середньому 38 ± 2,3 см<sup>3</sup>, МСШ кровотоку — 16 ± 1,5 см/с, IR — 0,92 ± 0,16 та PI — 1,03 ± 0,187 (див. таблицю 1).

Через 1 місяць після лікування у 45 (93,8%) хворих виявлено ремісію за клінічними та ультрасонографічними даними. У 3 (6,2%) пацієнтів при допплерографічному дослідженні виявлено збільшення МСШ кровотоку та PI при зменшенні IR, при подальшому обстеженні у них виявлено первинну невилікованість.

Таким чином, традиційне УЗД в комплексі з клінічним обстеженням дозволяє об'єктивно і з високою точністю

оцінювати об'єм і ехоструктуру шийки матки, можливе проростання новоутвору в суміжні органи, а також дослідити станості регіонарних лімфовузлів. Утім щодо діагностики параметральних інфільтратів можливості УЗД у В-режимі дещо обмежені. Ультразвукова ангіографія в режимах ЕДК та КДК дозволяє оцінювати ступінь васкуляризації пухлини шийки матки в цілому та окремих її зон з диференціально-діагностичною метою. Доповнене методиками допплерівського картування УЗД може бути використане як уточнюючий метод діагностики та оцінки ефективності запрограмованого лікування у хворих на РШМ протягом ППТ, а також для подальшого моніторингу з метою вчасного виявлення первинної невиліковності або рецидиву захворювання. Зміни структури та об'єму пухлини, а також її гемодинаміку можна побачити на рисунках 1, 2.

Отримані нами дані щодо динаміки зменшення об'єму пухлини протягом лікування свідчать про необхідність подальших досліджень у цьому напрямку з використанням сучасних діагностичних технологій з метою індивідуалізації оптимального співвідношення компонентів поєднаної ППТ у хворих з поширеними формами раку шийки матки.

Отже, використання комплексного УЗД із застосуванням режимів КДК та ЕДК на різних етапах ППТ дозволяє об'єктивно оцінити відповідь пухлини шийки матки на проведений лікування. Динамічна оцінка ступеня резорбції пухлини протягом ППТ є важливим елементом алгоритму вибору оптимального співвідношення дистанційної та контактної променевої терапії у хворих на поширені форми раку шийки матки. Збереження патологічної васкуляризації, за даними ультразвукової ангіографії під час та після ППТ можуть бути підставою для своєчасної корекції лікування.

## Література

1. Ашрафян Л. А., Антонова И. Б., Алексикова О. И. и др. // Сибир. онкол. журн. – 2008. – № 5. – С. 16–22.
2. Haie-Meder Ch., Potter R., Van Limbergen E. et al. // Radiother. and Oncol. – 2005. – Vol. 74. – P. 235–245.
3. Абдулаєв Р. Я., Поздняков С. А. // УРЖ. – 2010. – Т. XVIII, вип. 2. – С. 151–153.
4. Исамухамедова М. А., Атаева С. Х., Фазылова С. А. // Ультразвук. и функцион. диагноз. – 2009. – № 5. – С. 79–83.
5. Дубиле П. М. Атлас по ультразвуковой диагностике в акушерстве и гинекологии: пер. с англ. / Под общ. ред. В. Е. Гажонової. – М.: МЕДпресс-информ, 2007. – 328 с.
6. van de Bunt L., Uulke A. van der Heide, Ketelaars M. et al. // Int. J. Radiat. Oncol. Biol. Phys. – 2006. – Vol. 64. – P. 189–192.

Ю.Я. Федуленко, О.А. Датченко

Медичний діагностичний центр  
«Експерт-Харків», Харків

## Комплексне використання КТ та УЗД у діагностиці вторинного ураження печінки

### Complex application of CT and ultrasonography in diagnosis of secondary liver lesions

**Summary.** Efficacy of complex application of CT and ultrasound in diagnosis of secondary liver lesions was assessed. It was established that only complex application of computed tomography with contrast enhancement and ultrasonography can give complete information for diagnosis of secondary liver lesions. Diagnostic value of CT without

contrast enhancement is very low while radiation load to the patients is unreasonably high.

**Key words:** computed tomography, ultrasound investigations, secondary liver lesions.

**Резюме.** Цель работы — оценить эффективность комплексного применения КТ и УЗИ в диагностике вторичного поражения печени. Установлено, что только комплексное применение компьютерной томографии с контрастным усиливанием и ультразвукового метода дает наиболее полную информацию в диагностике вторичного поражения печени. Диагностическая ценность КТ без контрастирования очень низка, при этом неоправдано велика лучевая нагрузка на пациентов.

**Ключевые слова:** компьютерная томография, ультразвуковые исследования, вторичное поражение печени.

**Ключові слова:** комп'ютерна томографія, ультразвукові дослідження, вторинне ураження печінки.

Своєчасна і точна діагностика осередкових уражень печінки вважається однією з найактуальніших проблем в онкології. В Україні щороку реєструються тисячі випадків печінкових метастазів із пухлин різних органів [1, 2]. Середня тривалість життя збільшується з кожним роком і разом зростає ймовірність виникнення раку, його раннє виявлення та ефективне лікування привели до збільшення виживаності таких хворих, тому виникнення вторинного раку не впинно зростає [3, 4]. Наразі найбільш актуальну проблему є вторинні пухлини печінки. Також важливою є диференціальна діагностика її доброкісних та злойкісних осередкових уражень.

У проблемі своєчасної діагностики осередкових уражень дуже гостро постає питання комплексної променевої діагностики цього стану [5, 6]. Важливим є не тільки висока інформативність і безпечність методу, але й економічна доступність та максимальна зручність проведення дослідження для пацієнта [7].

Нині в променевій діагностиці використовується п'ять найважливіших способів зображення тканин, органів і внутрішніх середовищ тіла людини: традиційний рентгенівський; комп'ютерна томографія; ультразвуковий; радіонуклідний; магнітнорезонансний; але жоден з них на сучасному етапі не може дати вичерпної діагностичної інформації.

У клінічній практиці досить часто зустрічаються випадки обмежених можливостей УЗД та КТ у виявленні та диференціюванні локальних уражень печінки, що пов'язано з існуванням ізохогенних або ізоденсивних осередків. Такі осередки за їх фактичної наявності можуть не виявлятися при УЗД або КТ, що створює діагностичні проблеми та призводить до неправильної тактики лікування хворих [8–10]. Дотого ж за допомогою тільки одного променевого методу дослідження дуже важко диференціювати доброкісні та злойкісні новоутвори. Отже, проблема комплексної поглибленої УЗ та КТ-діагностики осередкових уражень печінки є актуальною.

Клінічно та за допомогою УЗД та КТ нами було обстежено 107 хворих з осередковими ураженнями печінки; КТ-дослідження проводилося з контрастним підсиленням та без нього. Пацієнти за виявленням осередкових уражень за допомогою КТ та УЗД розподілялись таким чином: у 53 осередки були виявлені і при УЗД і при КТ-дослідженні з контрастним підсиленням та без нього, у 35 пацієнтів — тільки при КТ з контрастним підсиленням, а при УЗД та КТ без контрасту не виявлялися, як і в 19 при КТ без контрастування та контрастуванням, а УЗД показало чітку картину осередкового ураження.

Серед обстежених за допомогою УЗД та КТ з контрастуванням та без нього було 50 чоловіків та 57 жінок, віком